

1967 - 1969

NH<sub>3</sub> Beyer K. D., Welge K. H. 1967

Z. Naturforsch., 22a, N8, 1161.

Фотодиссоциация молекул  
H<sub>2</sub>, H<sub>2</sub>O и NH<sub>3</sub> в длиной ви-  
димости. II - областях с об-  
разованием эмиссионных -  
воздушных продуктов рас-

naga. II

(cav.  $H_2$ ) III

1967

NH<sub>3</sub>

9 Б219. Интенсивности чисто вращательных полос поглощения и дисперсия аммиака в далекой инфракрасной области. Bradley Eugene B., Jones Ernest A. Pure-rotation band absorption intensities and dispersion of ammonia in the far infrared. «Mater. Sci. and Engng», 1967, 2, № 2, 61—76 (англ.; рез. франц., нем.)

Для области 78—400 см<sup>-1</sup> вычислены показатели преломления аммиака на основании данных по чисто вращательным спектрам, соответствующим переходам между чисто вращательными уровнями энергии молекулы при значениях квантовых чисел суммарного углового момента от  $J=4$  до  $J=15$ . Расчет показывает, что

Х. 1968. 9

вклад от вращения постоянного электрич. диполя в величину показателя преломления весьма существен; вопрос о том, в каком случае один только электронный вклад в показатель преломления полярной молекулы в дальней ИК-области может считаться хорошим приближением, требует знания экспериментально измеренных интенсивностей полос в чисто вращательных спектрах.

Резюме

$C_2H_5NH_2^+ (3)$

1967  
VII 3998

A.P. ( $C_2H_3^+$ ;  $C_2H_5^+$ ;  $CNH_4^+$ ;

$NH_4^+$ ;  $CNH_3^+$ ;  $CNH_2^+$ ;  $NH_3^+$ )

$\Delta H_f(C_2NH_6^+)$ ;  $\Delta(\bar{C}-H) \text{ v } \Delta(N-H)$  (Pauson  
 $C_2NH_6^+$ );  $\Delta H_f[C(CNH_4^+)]$ ;  $(C_2H_5^+)$   
 $(C NH_3)^+$

Collin J.E., Franskin M.J.,

Glyatt D., Bull. Soc. roy

sci Liege, 1967, 36, N5-6, 318-27

10 m

2

PX 1968195125

NH<sub>3</sub>

Dixon R.N.

1967

Molec. Phys., 12, N 1, 83-90.

Приблизительные расчеты по  
исследованию изоензиматных  
структур с самосогласова-  
нием для энзимпротивных  
составляющих ванильных об-  
зоров.  
(авт. СН)

NH<sub>3</sub>

ВР-XIII-1759

1967

12 Д 202. Потенциалы ионизации аммиака.

Frost D. C., McDowell C. A., Vroom D. A. Ionization potentials of ammonia. «Canad. J. Chem.», 1967, 45, № 12, 1343—1345 (англ.)

(9) С помощью сферич. анализатора зарегистрировано распределение по энергиям фотоэлектронов, образующихся при ионизации NH<sub>3</sub> под действием монохроматич. света  $\lambda$  584 Å (21,21 эв). Обнаружены 2 порога ионизации при 10,35 и 14,95 эв с отношением сечений  $\sigma$  в области порогов 1 : 7,1 ( $\sigma$  равны соответственно  $1,8 \cdot 10^{-18}$  и  $1,27 \cdot 10^{-17} \text{ см}^2$ ). 1-й потенциал ионизации (ПИ) соответствует ионизации несвязывающей молекулярной орбитали З<sub>1</sub>, с образованием иона NH<sub>3</sub><sup>+</sup>, по-видимому,

09.1967.12

плоской структуры типа  $^2A_2''$  (на это указывают низкое значение  $\sigma$  и расплывчивость порога, обусловленная малой вероятностью возбуждения 1-го колебательного уровня иона). В области выше 2-го ПИ  $\sigma$  плавно растет при увеличении энергии электронов, что указывает на ионизацию основной связывающей орбитали. Это согласуется с отнесением 2-го ПИ процессу  $(a_1)^2(e)^4(a_1^*)^2$ ,  $^4A_1(C_{3v}) \rightarrow (a_1)^2(e)^3(a_1^*)^2$ ,  $^2E(C_{3v})$ . Полученные результаты подтверждают расчеты молекулы NH<sub>3</sub> методами теории МО ЛКАО.

В. Е. Скурат

NH<sub>3</sub>

XIII-1759-89 1967

(y)

36421k Ionization potentials of ammonia. D. C. Frost,  
C. A. McDowell, and D. A. Vroom (Univ. British Columbia,  
Vancouver, Calif.). *Can. J. Chem.* 45(12), 1343-75(1967)  
(Eng). The kinetic energy spectrum of photoelectrons ejected  
from NH<sub>3</sub> by monochromatic 584 A. (21.21 ev.) radiation was  
detd. by using a spherical grid energy analyzer. Ionization  
potentials of 10.35 and 14.95 ev. were deduced from the spec-  
trum, and the relative transition probabilities to the ionic states  
were measured. These exptl. results are discussed in terms of the  
various M.O. theoretical treatments of the electronic structure of  
the NH<sub>3</sub> mol. 20 references.

RCCM

C.A. 1967. 67-8

NH<sub>3</sub>

Frost A.A.,  
Prentice B.H.  
Rouse R.A.A.

1917

номин  
жерчи;  
гимен  
св. зе;

J. Amer. Soc., 89, N12,  
3069.

Пространство может мо-  
жет не иметь структуры,  
однако оно занято на "рас-  
пространении" некои-

NH<sub>3</sub>

Сергушка

4 Д161. Дифракция электронов на газообразном аммиаке. Эффект химической связи. Gervais Annick, Rouault Marcel. Diffraction des électrons par le gaz ammoniac. Effet de liaison chimique. «C. r. Acad. sci.», 1967, 265, № 10, В 602—В 604 (франц.)

1967

На молекулярном пучке NH<sub>3</sub> с интенсивностью 10<sup>19</sup> молекул/сек исследована дифракция электронов с энергией 40 и 50 кэв. Полученные графики зависимости эффективного диффер. сечения рассеяния от угла сравниваются с результатами теоретич. расчетов на основании 2 моделей молекулы NH<sub>3</sub>: 1) модель Дебая — Эренфеста, согласно которой молекула представляет собой набор отдельных атомов, причем ядро каждого атома фиксировано в положении равновесия; 2) молекула описывается на основании теории МО ЛКАО. Показано, что модель 2), учитывающая наличие химич. связи между атомами, лучше описывает эксперим. данные, чем модель 1).

В. Е. Скурат

09.1968.4

NH<sub>3</sub>  
хв.-мех.  
реакт.

Harrison J.F.  
J. Chem. Phys.  
47, N8, 2990

1967

Нек-рое сб-во H<sub>2</sub>O и NH<sub>3</sub>  
в однозначном  
упорядоченстве.

(см. H<sub>2</sub>O) III

$NH_3^{2+}$

foshi Bh.

1967

Z. Chem. Phys., 46, N 3, 875-87

9

Bsp-N 22.98-IV  
-cbn

Исследование  $BeH_3^-$ ,  $Be_3$ ,  
 $CH_3^+$ ,  $NH_3^{2+}$  и  $OH_3^{3+}$  в одно-  
центровом приближении  
нейтронов самоизлучаю-  
щего наэ

(см.  $BeH_3^-$  III)

14, 15

NH<sub>3</sub>

3

Koerner H. W., et al. 1907

J. Amer. Chem. Soc., 89,

N 14, 3396.

барьеры извержения изра-  
зительных мол - I типа  
XY<sub>3</sub> и возможн. мол-  
ких изо-  
группы XY.  
(аэ. CH<sub>3</sub><sup>-</sup>)

M 2574

1967

paerem cnpayrmypb, & i (HNO, HCF, H<sub>2</sub>CO, H<sub>2</sub>C<sub>2</sub>, NH<sub>3</sub>)

Krofo H.W., Santry D.P.

J.Chem. phys., 1967, 47, N 2, 792-97

CNDO-molecular-orbital theory of molecular spectra I. The virtual-arbital approximation to excited states.

PJF, 1968, 2D142

J.

b wf  
b f

6 14 ec<sup>16</sup>

*1967*

$\mu N_3$ ,  
 $\delta N_3$

9 Д217. ИК-спектр  $HN_3$  и  $DN_3$ : распределение кориолисова взаимодействия между деформационными колебаниями. Levine D. M., Dows David A. Infrared spectrum of  $HN_3$  and  $DN_3$ : assignment of the Coriolis-coupled bending vibrations. «J. Chem. Phys.», 1967, 46, № 3, 1168—1172 (англ.)

*УЛ-спектр*

Исследован ИК-колебательно-вращательный спектр газообразных и твердых  $HN_3$  и  $DN_3$  в области 400— $1000 \text{ см}^{-1}$ . Выступающие  $Q$ -ветви отнесены к трем колебательным переходам, связанным с кориолисовым взаимодействием. Начало полос и константы кориолисова взаимодействия определены из анализа наблюдаемых частот для  $HN_3$ :  $\nu_3 = 1263,7$ ;  $\nu_5 = 534,2$ ;  $\nu_6 = 607,0$ ;  $\zeta_{36}^2 = -0,31$ ;  $\zeta_{56}^2 = -0,93 \pm 0,02$ ; для  $DN_3$ :  $\nu_4 = 953,8$ ;  $\nu_5 = 492,1$ ;  $\nu_6 = 588,4$ ;  $\zeta_{46}^2 = -0,41$ ;  $\zeta_{56}^2 = -0,82 \pm 0,02$ .

И. Галактионов

Ф. 1967. 90

NH<sub>3</sub>

Lide D.R.

I967

Phys. Lett., 24A, 599

Interpretation of the far infrared  
laser oscillation in ammonia.

1987

NH<sub>3</sub>

Melrose M. P., Parr R. G.

V<sub>o</sub>

Theoret. chim. acta, 8, N<sub>2</sub>,  
150.

Численное решение  
с применением чисел  
Мори теории колебаний  
реакции - для газа непреко-  
руного -  $\text{yoga in } \text{NH}_3$ .

III (con. H<sub>2</sub>O<sub>2</sub>)

11-1294

XIII-411

1967

NH<sub>3</sub>

Д 4 Б96. Поглощение аммиака в ультрафиолетовой области при высоких температурах за ударной волной.  
Мепоп Р. Г., Michel K. W. Ultraviolet absorption of ammonia at high temperatures behind shock waves. «J. Phys. Chem.», 1967, 71, № 10, 3280—3284 (англ.)

Исследовано поглощение NH<sub>3</sub> за ударной волной при т-рах 500—2600° К при длинах волн 2225, 2300 и 2400 Å. С ростом т-ры поглощение при этих длинах волн растет. Поглощение в исследованной области авторы связывают с переходом  $2p_z \rightarrow 3s$  для колебательных уровней  $v_2'' = 1, 2, 3, 4$  и  $5$  (2212, 2245, 2287, 2335 и 2390 Å). Величины энергии этих переходов, полученные из спектроскопических данных, и величины Е, полученные из больцмановской зависимости для поглощения при исследованных длинах волн, хорошо согласуются друг с другом. Обнаружено поглощение NH<sub>3</sub> за ударной волной при

(способ  
измерения  
УФ-спектр.  
в уд. трубах)

2 · 1968 · 4

3360 Å, что указывает на образование радикалов NH при разложении  $\text{NH}_3$  в ударной трубе. Описан способ измерения УФ-поглощения в ударных трубах.

Ю. В. Киссин

NH<sub>3</sub> (eis. weet.) XII 1753 1967

Nelson J. P.,  
Dissert. Abstr., 1964, B27  
(8), 2641

10

ca 1964

NH<sub>3</sub> (unpub. res)<sup>13</sup>

1869

XIII 475

Oka Takeshi

J. Chem. Phys., 1967, 47, N12, 5410-

vibration-rotation interaction between  
molecules  
in symmetric-top and the splitting  
between S<sub>1</sub> and S<sub>2</sub> levels.

Both options

Phys., 1968, 32(12) 10

*NH<sub>3</sub>*

*(81)*

1 Б1331. Фотодиссоциация аммиака в вакуумной ультрафиолетовой области излучения. Okabe H., Lenzi M. Photodissociation of NH<sub>3</sub> in the vacuum ultraviolet. «J. Chem. Phys.», 1967, 47, № 12, 5241—5246 (англ.)

Исследована фотодиссоциация NH<sub>3</sub> с образованием радикалов в электронно-возбужденном состоянии:

$\text{NH}_3 \rightarrow \text{NH}_2 (\tilde{A}^2 A_1) + \text{H}$  (1) и  $\text{NH}_3 \rightarrow \text{NH} (c^1 \pi) + \text{H}_2$  (2). Измерена интенсивность флуоресценции указанных радикалов как функция  $\lambda$  падающего света. Полученные кривые флуоресценции сравнивают со спектром поглощения NH<sub>3</sub>. Показано, что процесс (1) может быть связан с полосами  $\tilde{B}^1 E''$  (1165 Å),  $D'A_2''$  (1434 Å),

$\tilde{E}' A_2''$  (1330 Å), 1286 Å и континуумом 1250—1600 Å, а

*X. 1969. 1*

+2



процесс (2) — с континуумом 1250—1600 и  $< 1250$  А. Пороговое значение  $\lambda$  для (2) равно  $1325 \pm 7$  А. Электронная энергия 1-го синглетного состояния NH ( $a'\Delta$ ) по отношению к основному триплетному состоянию  $X^3\Sigma^-$  составляет  $< 1,6 \pm 0,1$  эв. Электронная энергия NH ( $c'\pi$ ) по отношению к  $a'\Delta$  составляет 3,813 эв. Рассматривают также др. первичные процессы при фотодиссоциации NH<sub>3</sub>. При  $\lambda < 1200$  А наряду с (2) становится доминирующим процесс NH<sub>3</sub> → NH<sub>3</sub><sup>+</sup> + e. Резюме

11 Д560. Фотодиссоциация  $\text{NH}_3$  в вакуумной УФ-области. Okabe H., Lenzi M. Photodissociation of  $\text{NH}_3$  in the vacuum ultraviolet. «J. Chem. Phys.», 1967, 47, № 12, 5241—5246 (англ.)

1967

$\text{NH}_3$

спектр

Исследованы фотодиссоциационные процессы (ФП)  $\text{NH}_3$  в вакуумной УФ-области, сопровождающиеся образованием электронновозбужденных радикалов:  $\text{NH}_3 \rightarrow \text{NH}_2 A^2 A_1 + \text{H}$  (1);  $\text{NH}_3 \rightarrow \text{NH} c^1 \Pi + \text{H}_2$  (2). Интенсивность флуоресценции радикалов  $\text{NH}_2 A^2 A_1$  и  $\text{NH} c^1 \Pi$ , наблюдавшейся в двух различных областях спектра 4000—6000 Å

при 3240 Å, соответственно, измерена в ф-ции от длины волны возбуждающего света с разрешением 7 Å. Спектры флуоресценции радикалов сопоставлены со спектром поглощения  $\text{NH}_3$  (1050—1650 Å). Предположено, что ФП (1) связан с  $B^1 E''$  (полосы 1665 Å),  $D^1 A_2''$  (1434 Å),  $E^1 A_2''$  (1330 Å), с полосами 1286 Å и континуумом 1250—1600 Å. Процесс (2) связан с поглощением в области континуума 1250—1600 Å и ниже 1250 Å. Определены пороговые значения (ПЗ) длин волн возбуждения, ниже

9.1968.

118

+2



которых рассматриваемые процессы энергетически возможны: для ФП (1)  $\lambda_{\text{порог}}^{(1)}=2175 \text{ \AA}$ , для ФП (2)  $\lambda_{\text{порог}}^{(2)}=1325 \pm 7 \text{ \AA}$ . Электронная энергия первого синглетного состояния  $\text{NH } a^1\Delta$  относительно энергии основного триплетного состояния  $X^3\Sigma^-$  ( $1,6 \pm 0,1 \text{ эв}$ ) определена на основании измерений ПЗ энергии  $h\nu_0$  для возникновения излучения  $\text{NH} c^1\Pi \rightarrow a^1\Delta$  теплоты реакции  $\Delta H^0_f$  для  $\text{NH}_3 \rightarrow \text{NH} X^3\Sigma^- + \text{H}_2$  и значения энергии 0—0 перехода  $\text{NH} c^1\Pi - a^1\Delta$  (3,813 эв). Установлена связь всех наблюдаемых при диссоциации  $\text{NH}_3$  первичных ФП с полосами поглощения  $\text{NH}_3$ . Показано, что при длинах волн возбуждающего света короче 1200  $\text{\AA}$  преобладающими в системе становятся ионизационные процессы типа  $\text{NH}_3 \rightarrow \text{NH}_3^+ + e$  и (2). Библ. 22.

А. М. М.

*NH<sub>3</sub>*

Ritchie C.D., King H.F.

1967

J.Chem.Phys., 47, 564. N<sup>g</sup>.

Gaussian basis SCF calculation  
for OH<sup>-</sup>, H<sub>2</sub>O, NH<sub>3</sub> and CH<sub>4</sub>.

(au. OH<sup>-</sup>) III

NH<sub>3</sub>(6p-pe)

XIII-924

1967

PH<sub>3</sub>(6p-pe)

W<sub>1</sub>, W<sub>2</sub>, W<sub>3</sub>, W<sub>4</sub>

73670g Measurements of absolute infrared intensities in solution and calculations of dipole moments. III. Ammonia, phosphene. Marisa Scrocco and Bruno De Luca (Univ. Rome). *Ric. Sci.* 37(3), 250-7(1967)(Ital). Abs. intensities of the fundamentals  $\nu_1$ ,  $\nu_2$ ,  $\nu_3$ , and  $\nu_4$  were measured from spectra of NH<sub>3</sub> and PH<sub>3</sub> in CCl<sub>4</sub> and MeCN. For NH<sub>3</sub>, overlap of  $\nu_1$  and  $\nu_3$  in both solvents necessitated division of the total area by using the criteria of McKean and Schatz. In MeCN,  $\nu_2$  was obscured by the solvent absorption. For PH<sub>3</sub>, overlap of  $\nu_1$  and  $\nu_2$  was such that only approx. values of the intensities were obtained. The contributions to the total mol. dipole moment of the bond moments  $\mu_B$  and the lone pair moment  $\mu_L$ , were calcd. by using exptl. values of the mol. dipole moment and its variation  $\partial\mu_{tot}/\partial S_2$  with the symmetry bending coordinate. The latter is obtained from the intensity of the totally sym. bending vibration.

C. A. 1968 • 68:16



The directions of the bond orbitals do not coincide with the bond direction and  $\partial\beta'/\partial\beta_0$  measures orbital following. ( $\beta'$  is the angle between a bond orbital and bond direction;  $\beta_0$  is the angle between bond direction and  $z$  axis). It is assigned values 0.75, 0.85, and 1.0.  $\alpha$ , the bond angle, is 90–120° for  $\text{NH}_3$ , and 70–120° for  $\text{PH}_3$ .  $\partial\mu/\partial r$  for  $\text{NH}_3$  in the gas phase differs considerably for the  $A_1$  and  $E$  class vibrations, and to a lesser extent in soln. This is probably due to an inductive effect of the 3 bond moments on the lone pair which is more polarizable along the symmetry axis. For  $\text{NH}_3$  in  $\text{CCl}_4$ , the dipole moment in benzene was used.  $\partial\mu_{\text{tot}}/\partial S_2$  is assigned a neg. sign as being most consistent with the results obtained. For  $\text{NH}_3$ , neither  $\mu_B$  nor  $\mu_{lp}$  is very sensitive to  $\beta'$  or  $\partial\beta'/\partial\beta_0$ . For  $\text{PH}_3$ ,  $\beta'$  has more influence on the moments. Values  $\mu_B$  are smaller than  $\mu_{lp}$ .

Michel J. M. Campbell

6114 4B 115  
C<sub>2</sub>H<sub>5</sub>OH (CO<sub>2</sub>, H<sub>2</sub>O, HCN, 1962  
NH<sub>3</sub>, BF<sub>3</sub>, CH<sub>4</sub>, C<sub>2</sub>H<sub>2</sub>,  
C<sub>2</sub>H<sub>4</sub>, CH<sub>3</sub>F, NO, CO)

Segal B. A., Klein M. L.

J. Chem. Phys., 1962, 42, 410, 4236 -  
Calculation of infrared <sup>4240/cm<sup>-1</sup></sup> intensities by the CNDO method.

B-Bay, PCB.

Feb 1968, 156152

NH<sub>3</sub>

Strey G.

1967

J. Molec. Spectr., 24, N1, 87

Физико-химическое свойство  
однотипных изомеров.

к. I.



(c.u. H<sub>2</sub>O) III

XIII - 936

1967

$\nu_i (\underline{YX_3}, \text{rge. } Y = \underline{N, P, As, Sb, Bi},$   
 $X = H, F, Cl)$

Smit W. M. A., Elaas J. H.  
van der , Spectrochim acta,  
1964, d23, N8, 2453-55



corr. oper.

10

Q.V 1968

80315.1553

Ph, Ch

1967  
 $\text{NH}_3$  (mod.) XIII 475

Oka Takashi. Vibration-rotation interaction in symmetric -top molecules and the splitting between  $A_1$  and  $A_2$  levels.

"J. Chem. Phys.", 1967, 47, 12, 5416

5426 (англ.)

Библиотека  
ГУМЗ РАН

10

6 зеур бай

ст.  
вичити

667 675 382

Wlb

(Note. USA)

1967

73819n Effect of modulation of microwave resonance absorptions by saturation. T. Toerring and E. Schnabel (Freie Univ., Berlin). *Z. Phys.* 204(2), 198-204(1967)(Ger). Equations are developed to show that satn. modulation is expected to have about the same theoretical limiting sensitivity (without some of the disadvantages) as Stark-effect modulation. Exptl. results confirm theory. For the absorption line of the inversion spectrum of  $^{14}\text{NH}_3$ , the absorption coeff. is  $2.8 \times 10^{-4}/\text{cm}$ .

F. G. Norris

C.A. 1968. 68. 16

NH<sub>3</sub> (евр. морг., Терпиг. ф. ии) 9/1967

Уникало А.А.,

109

XIII 1012  
5:

Ходогурский птичник Тяжнорд 1967,  
№ 5, 80-3.

Рассмотрение ошибки изображения  
модели аэропорта в анимогене.  
при работе с. 13. Терпигори. - Старт  
ночного полета. 1968, № 10, 81076.

NH<sub>3</sub> | BOP-112002-IV | White K.Z.,  
Cook R. L.

| 1967

J. Chem. Phys., 46, n<sup>1</sup>, 143.

Вращательные изображения  
цикл. суперпозиций HNCO, DNCO,  
HN<sub>3</sub> в межмолекулярной  
диапазоне: изменение ги-  
бкостного момента с вр-

NH<sub>3</sub>

Aonezawa T., Yama- 1907  
uchi K., Kato H.

Bull. Chem. Soc. Japan, 40,  
N 3, 536.

Горючее топливо из ацетилен-  
перекиси соды. Введение в  
заправку - подогрев

самоограничиваются  
личности. организаций. ?.  
Но все же исключаются.

(авт. Аль) III

XIII-61-BP

1968

NH<sub>3</sub>

Kb uses  
pacrem

40810r SCF [self-consistent-field] wavefunctions for the ammonia molecule. Potential-energy surface and vibrational force constants. Body, R. G.; McClure, Donald S.; Clementi, Enrico (Univ. of Chicago, Chicago, Ill.). *J. Chem. Phys.* 1968, 49(11), 4916-24 (Eng). S.C.F. wavefunctions have been calcd. for the NH<sub>3</sub> mol. in a no. of geometrical configurations by using a basis set of Gaussian *s*- and *p*-type functions. The equil. geometry was  $R_{\text{NH}_3} = 0.996 \text{ \AA}$  and  $\alpha_{\text{HHNH}} = 114.6^\circ$ , the total energy was -56.18517 hartree and the inversion barrier was 0.00127 hartree. Energies for configurations without  $C_3$  symmetry were fitted to an assumed potential function which included all second- and third-degree terms, and the vibrational force consts. were detd. The addn. of *d*-type functions to the basis set gave much better results for the equil. geometry and inversion barrier. With this basis set, the equil. geometry was  $R_{\text{NH}_3} = 1.102 \text{ \AA}$  and  $\alpha_{\text{HHNH}} = 106.2^\circ$ , the total energy was -56.19821 and the inversion barrier was 0.0118 hartree.

RCJQ

C.A. 1969. 70.10

NH<sub>3</sub>

XIII - 6-BP 1968

5 Д97. Самосогласованные волновые функции молекулы NH<sub>3</sub>. Поверхность потенциальной энергии и колебательные силовые постоянные. Body R. G., McCullough D., Donald S., Clementi E. SCF wavefunctions for the NH<sub>3</sub> molecule. Potential-energy surface and vibrational force constants. «J. Chem. Phys.», 1968, 49, № 11, 4916—4924 (англ.)

Для ряда геометрических конфигураций молекулы NH<sub>3</sub> с использованием базисного набора из гауссовских ф-ций s- и p-типа рассчитаны самосогласованные волны ф-ции. Равновесная длина связи N—H найдена равной 0,996 Å, угол H—N—H 114,6°, полная энергия —56,18517 хартри и барьер инверсии 0,00127 хартри. С предложенной

кб.-лек.

пачей,

ст. подс.  
структура

Ф. 1969. 5 №

потенциал кривой сопоставлены энергии конфигураций, не обладающих симметрией  $C_{3v}$ , и определены колебательные силовые постоянные. Дополнительное включение в базисный набор ф-ций  $d$ -типа приводит к более хорошим результатам: равновесная длина связи N—H равна 1.102 Å, угол H—N—H 106,2°, поляя энергия —56,19821 хартри и барьер инверсии 0,0118 хартри.

Резюме

1968

X-112

NH<sub>3</sub> (Chupka)H<sub>2</sub>O (Moprey)

117201 in ion-molecule reactions of NH<sub>3</sub><sup>+</sup> by photoionization. W. A. Chupka and M. E. Russell (Argonne Natl. Lab., Argonne, Ill.). *J. Chem. Phys.* 48(4), 1527-33(1968)(Eng). Photoionization-efficiency curves were measured for NH<sub>3</sub><sup>+</sup>, NH<sub>4</sub><sup>+</sup>, and H<sub>3</sub>O<sup>+</sup> ions in NH<sub>3</sub> gas and in gaseous mixts. of NH<sub>3</sub> and H<sub>2</sub>O. The results are interpreted to det. how the relative reaction cross section depends on the vibrational energy of the NH<sub>3</sub><sup>+</sup> ion for the reactions NH<sub>3</sub><sup>+</sup> + NH<sub>3</sub> → NH<sub>4</sub><sup>+</sup> + NH<sub>2</sub> (1) and NH<sub>3</sub><sup>+</sup> + H<sub>2</sub>O → NH<sub>4</sub><sup>+</sup> + OH (2). The cross section for reaction (1) decreases with increasing vibrational energy while that for reaction (2) is nearly independent of vibrational energy. The results are discussed in terms of the formation of an intermediate complex and in terms of stripping models. The upper limit of the proton affinity was detd. to be ≥ 8.54 ev. for NH<sub>3</sub> and ≥ 7.0 ev. for H<sub>2</sub>O.

RCSQ

+ Jus

C.A. 1968. 08. 26

X

*NH<sub>3</sub>*

5 Б1110. Изучение ионно-молекулярных реакций NH<sub>3</sub><sup>+</sup> с помощью фотоионизации, Chirkov W. A., Russell M. E. Ion-molecule reactions of NH<sub>3</sub><sup>+</sup> by photoionization. «J. Chem. Phys.», 1968, 48, № 4, 1527—1533 (англ.) 1968

На масс-спектрометре с ионизацией монохроматическим светом получены кривые эффективности ионизации для ионов NH<sub>3</sub><sup>+</sup>, NH<sub>4</sub><sup>+</sup> и H<sub>3</sub>O<sup>+</sup>, образованных в NH<sub>3</sub> или его смесях с H<sub>2</sub>O. На основании этих данных найдены зависимости сечений σ ионно-молекулярных реаций NH<sub>3</sub><sup>+</sup>+NH<sub>3</sub>→NH<sub>4</sub><sup>+</sup>+NH<sub>2</sub> (1) и NH<sub>3</sub><sup>+</sup>+H<sub>2</sub>O→NH<sub>4</sub><sup>+</sup>+OH (2) от энергии колебательного возбуждения E<sub>v</sub> иона NH<sub>3</sub><sup>+</sup>. Для реации (1) σ уменьшается с ростом E<sub>v</sub>, а σ реации (2) практически не зависит от E<sub>v</sub>. Это различие может объясняться тем, что реация (1) протекает по механизму образования промежуточного комплекса, а реация (2) — по механизму переноса протона без образования комплекса. Сделаны оценки сродства к протону для NH<sub>3</sub> ( $\geq 8,54$  эв) и H<sub>2</sub>O ( $\geq 7,0$  эв). А. М.

*сразу  
к проекту*

X. 1969. 5

+1

NH<sub>3</sub>

5 Д340. Вращательно-инверсионный спектр аммиака.  
Dowling Jerome M. The rotation-inversion spectrum  
of ammonia. «J. Molec. Spectrosc.», 1968, 27, № 1—4,  
527—538 (англ.)

1968

спектр  
и.н.

По ИК-спектрам поглощения (35—240 см<sup>-1</sup>) при разрешении ~0,3 см<sup>-1</sup> исследованы вращательно-инверсионные переходы в молекуле аммиака при давл. 6,0—15,5 мм рт. ст. Отмечено значительное *K*-расщепление, главным образом, вследствие центробежного искажения молекулы и обнаружено много линий одиночных переходов. Приведены рассчитанные и экспериментальные частоты вращательно-инверсионного спектра NH<sub>3</sub> для вращательных квантовых чисел *J* до 11. По неперекрывающимся разрешенным линиям выполнен вращательный анализ. Приведена ф-ла для вычисления энергетич. уровней с учетом вращения и инверсии. Получены следующие значения вращательных постоянных молекулы NH<sub>3</sub>:  $B_0 = 9,9438 \pm 0,0006$ ;  $D_0^J = (8,41 \pm 0,08) \cdot 10^{-4}$ ;  $D_0^{JK} = (1,56 \pm 0,02) \cdot 10^{-3}$  (все — в см<sup>-1</sup>). Библ. 20. С. Ф. Б.

ф. 1969.

59

NH<sub>3</sub>

(Clegg)

BP-XII-188

1968

63073w) The rotation-inversion spectrum of ammonia.  
Dowling, Jerome M. (Space Phys. Lab., Aerosp. Corp., Los Angeles, Calif.). *J. Mol. Spectrosc.* 1968, 27(1-4), 527-38 (Eng). The rotation-inversion spectrum of NH<sub>3</sub> was observed in the wave no. region 35-240 cm.<sup>-1</sup>, with a resoln. of ~0.08 cm.<sup>-1</sup>. The K splitting (owing primarily to centrifugal distortion) is extensive and many lines owing to single transitions are observed. The best resolved of these unblended lines are used in a rotational anal. The major rotational consts. obtained are  $B_0 = 9.94378 \pm 0.00057$  cm.<sup>-1</sup>,  $D_0^J = (8.407 \pm 0.076) \times 10^{-4}$  cm.<sup>-1</sup>, and  $D_0^{JK} = (-1.564 \pm 0.015) \times 10^{-3}$  cm.<sup>-1</sup> 19 references.

RCKP

C.A. 1968-69. 16

$\text{NH}_3$

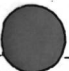
кб.-лек.  
пачет

Frost. A.A.

1968

J. Phys. Chem., 72, NY, 1289

Исследование строения  
металлов нал. низвенных  
специ. гауссовых орбит.  
III. Изучение атомов  
— второго периода.



(ат.  $\text{BeH}_2$ ) III

1968

NH<sub>3</sub>

Frost D.C., et al.

(y)

qsonics.  
cuerpo

Advan. Mass spectrom.,

1968, 4, 481.

(Cer. Hg) II

NH<sub>3</sub>

Gordon M. S.

1968

pacet

J. Chem. Phys.

publ.

1968, 49, N10, 4643-50.

rec'd 2/27/70

(Cet Cl<sub>2</sub>; III)

Haar L.,

Neomys  
B. L.

J. Res Natl Bur. Standards,  
1908, Part, 207

N17

SHf NH<sub>3</sub>(r)

$\text{CH}_3\text{D}$ ;  $\text{NH}_3$ ,  $\text{H}_2\text{O}$  (v.) 4 1<sup>7</sup> XII 294 1968.

Hopkins H.P., Curl R.F., Pitzer K.S.

J. Chem. Phys., 1968, 48(7), 2959-65

Infrared matrix-isolated studies  
of nuclear-spin species conversion

no

g



CR, 1968, 69, 52, 6613y

1968

NH<sub>3</sub>

82760e) Microwave echoes in gaseous ammonia. Jenkins,  
J. L.; Wagner, Peter E. (Johns Hopkins Univ., Baltimore,  
Md.). *Appl. Phys. Lett.* 1968, 13(9), 308-9 (Eng). Echoes  
have been produced at microwave frequencies of 23-26 GHz.  
from the transition between inversion levels in NH<sub>3</sub>. Preliminary  
studies are reported prior to further use of the technique  
for mol. spectra in gases. V. W. Hatton

m. b. cleanup

C. A. 1969. \$0.18

11 13 14 1968

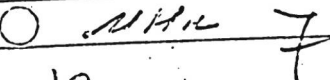
Cu-1 nucl, E. (HF, H<sub>2</sub>O, NH<sub>3</sub>, C<sub>2</sub>H<sub>4</sub>)

XIII1645

Kim H., Parr R. G.

J. Chem. Phys., 1968, 49, N<sub>7</sub>, 3044-3083/cm<sup>2</sup>

One-center perturbation approach  
to molecular electronic energies.  
IV Ten-electron molecules of type  
-



10 Vnu. 1968, 16523

10

NH<sub>3</sub>

XIII - 1351

1968

52821h Measurement of the  $J = 0 \rightarrow 1$  transition frequency of <sup>14</sup>NH<sub>3</sub> in the submillimeter range and a new structure determination for the ammonia molecule. Krupnov, A. F.; Skvortsov, V. A.; Sinegubko, L. A. (Gor'k. Univ., Gorki, USSR). Izv. Vyssh. Ucheb. Zaved., Radiofiz. 1968, 11(8), 1186-91 (Russ.). The lower rotational transition  $J = 0 \rightarrow 1, K = 0$  of <sup>14</sup>NH<sub>3</sub> was studied by microwave spectroscopy at  $\lambda \sim 0.53$  mm. Detailed descriptions of the exptl. set-up and conditions for the expt. are given. A single line was observed in accordance with theory, and an unresolved quadrupole structure, of a considerable intensity, which corresponds to the transition at  $572,499.4 \pm 3$  Mc. The rotational const. was  $B_0 = 298,106$  Mc. The N-H bond length was 1.0134 Å, and the H-N-H bond angle,  $106^\circ 36'$ .

A. L. Skup

u. b. chevrip

чеврип

C.A. 1969. 40. 12

NH<sub>3</sub>

ND<sub>3</sub>

N-H

H-N-H

XIII-352

1968

~~100789~~ Electron-diffraction study of ammonia and deuterioammonia. Kuchitsu, Kozo; Guillory, J. P.; Bartell, L. S. (Univ. Tokyo, Tokyo, Japan). *J. Chem. Phys.* 1968, 49(6), 2488-93 (Eng). The gas-phase structures of NH<sub>3</sub> and ND<sub>3</sub> mols. were detd. by the sector-microphotometer method of electron diffraction. The following internuclear distances  $r_0$  and mean amplitudes  $l_e$  with estd. standard errors were obtained: For NH<sub>3</sub>,  $r_0(\text{N-H}) = 1.030 \pm 0.002$ ,  $r_0(\text{H-H}) =$

+1

C.A. 1968: 69-24

X

$1.662 \pm 0.010$ ,  $l_e(N-H) = 0.073_1 \pm 0.002$ ,  $l_e(H-H) = 0.125 \pm 0.006$ , and for  $ND_3$ ,  $r_o(N-D) = 1.026_5 \pm 0.003$ ,  $\gamma_o(D-D) = 1.654 \pm 0.008$ ,  $l_e(N-D) = 0.061_1 \pm 0.002$ ,  $l_e(D-D) = 0.101 \pm 0.006$  Å., with the parameter  $\kappa$  representing bond-stretching anharmonicity fixed at  $1.0 \times 10^{-5}$  and  $0.5 \times 10^{-5}$  Å.<sup>3</sup> for N-H and N-D, resp. Effects of anharmonicity and isotope differences in the structural parameters analogous to those in  $CH_4$  and  $CD_4$  were observed. The  $r_a^0$  and  $r_e$  bond distances calcd. from the above  $r_o$  distances are found to be consistent with the corresponding  $r_a$  and  $r_e$  distances derived from the spectroscopic rotational consts. of Benedict and Plyler. The isotope effects reported by Bell and by Halevi for the dipole moment and polarizability of  $NH_3$ , are discussed briefly in the light of the present results.

RCJQ

XIII-352

1968

NH<sub>3</sub>

/12 Б90. Электронографическое исследование аммиака и дейтероаммиака. Kuchitsu Kozo, Guillot J. P., Bartell L. S. Electron-diffraction study of ammonia and deutoammonia. «J. Chem. Phys.», 1968, 49, № 6, 2488—2493 (англ.)

Электронографически в газовой фазе с применением сектор-фотометрической методики исследовано строение молекул NH<sub>3</sub> и ND<sub>3</sub>. Эксперим. кривые молек. составляющие интенсивности рассеяния получены в интервале углов от 12 до 130 Å<sup>-1</sup> в единицах  $q$ . Расшифровка проведена методом радиального распределения, с уточнением МНК в применении к кривым интенсивности с учетом коэф. ангармоничности колебаний, равного 1,0·10<sup>-5</sup> Å<sup>3</sup> или N—H и 0,5·10<sup>-5</sup> Å<sup>3</sup> для N—D. Эффекты

гомостр.  
ст-ра

+1

X. 1969

• 12

☒

ангармоничности и изотопные различия аналогичны таковым в  $\text{CH}_4$  и  $\text{CD}_4$ . Получены следующие межъядерные расстояния и амплитуды колебаний: для  $\text{NH}_3$   $r_g$  ( $\text{N}-\text{H}$ )  $1,030 \pm 0,002$ ,  $l_e(\text{N}-\text{H})$   $0,073 \pm 0,002$ ,  $r_g$  ( $\text{H}-\text{H}$ )  $1,662 \pm 0,010$ ,  $l_e(\text{H}-\text{H})$   $0,125 \pm 0,006$  Å, для  $\text{ND}_3$   $r_g$  ( $\text{N}-\text{D}$ )  $1,026 \pm 0,003$ ,  $l_e(\text{N}-\text{D})$   $0,061 \pm 0,002$ ,  $r_g$  ( $\text{D}-\text{D}$ )  $1,654 \pm 0,008$ ,  $l_e(\text{D}-\text{D})$   $0,101 \pm 0,006$  Å. Валентные расстояния  $r_a$  и  $r_e$ , вычисленные из полученных  $r_g$ , находятся в хорошем соответствии с  $r_z$ - и  $r_c$ -расстояниями, полученными из вращательных спектров.

И. Ронова

XIII - 1600  
1968

NH<sub>3</sub>

2 Д482. Сверхтонкая структура N<sup>15</sup>H<sub>3</sub>. Kukolich  
Stephen G. Hyperfine structure of N<sup>15</sup>H<sub>3</sub>. «Phys. Rev.»,  
1968, 172, № 1, 59—63 (англ.)

С помощью мазер-спектрометра с двумя ячейками исследована сверхтонкая структура инверсионных переходов для вращательных состояний N<sup>15</sup>H<sub>3</sub>, J—K=4—4, 5—5, 6—6, 7—7. Теоретич. анализ эксперим. данных совместно с полученными ранее для J—K=2—2 проведен с учетом I<sub>N</sub>·J- и I·J-взаимодействий (I<sub>N</sub>-спин азота, I — суммарный спин атомов H), а также H—N и H—H спин-спиновых взаимодействий. Для J—K=2—2, 4—4, 5—5 и 7—7 наблюдается хорошее согласие между измеренными и рассчитанными значениями частот. Для J—K=1—1, 3—3 и 6—6 рассчитанные частоты сильно отличаются от экспериментальных. Приведены таблицы измеренных и рассчитанных значений частот. Э. В. Б.

09. 1969.

29

NR<sub>3</sub>, HNCO, HNCS (from <sup>13</sup>C NMR),  
DN<sub>3</sub>, D<sub>2</sub>NCO, D<sub>2</sub>NCS (from <sup>15</sup>N NMR)  
Krakow B., Lord R.C., Neely G.O.,  
J. Mol. Spectrosc. 1968, 27(1-4), 148-76  
XII 3/44

High resolution far infrared study of  
rotation in hydrazoic acid isoorganic  
acid isothiohydrazic acid and their  
copper derivatives. CA, 1968, 69, 116, 63184k

NH<sub>3</sub>

1051

diminuere

u. b.  
издание

Lees R. M., Oka T.

1968

J. Chem. Phys., 49, N 9, 9234

(am. MCN) III

1968

NH<sub>3</sub>Gregory

388667 Dissociation of molecules and molecule ions in molecular orbital theory. II. Dissociation of ammonia and NH<sub>3</sub><sup>+</sup>. Lindholm, Einar (Roy. Inst. Technol., Stockholm, Swed.). *Ark. Fys.* 1968, 37(5), 49-58 (Eng). A crit. examin. into the decompn. of NH<sub>3</sub> during photolysis and of NH<sub>3</sub><sup>+</sup> in a mass spectrometer is discussed by using M.O. theory. NH<sub>3</sub> is predominantly formed. This is explained on the basis of the min. change of energy in the dissociation process involving loss of H from NH<sub>3</sub> after excitation of one electron. The formation of NH during photodissocn. of NH<sub>3</sub> by loss of 2 H does not occur because the process requires high energy. In the dissociation of NH<sub>3</sub><sup>+</sup> in a photoionization or charge exchange mass spectrom-

+ Tues  
re uuu. Gregory

C.A. 1968 • 69.10



eter,  $\text{NH}_2^+$  is formed in its ground state because of low appearance potential.  $\text{NH}^+$  cannot be formed in its ground state by loss of  $\text{H}_2$  because the appearance potential is high. But  $\text{NH}^+$  can be formed in its quartet ground state together with  $\text{H}_2$  after electron impact, the appearance potential being low. At increased pressure the following ion-mol. reaction occurs in  $\text{NH}_3$ :

$$\text{NH}_2^+ + \text{NH}_3 \rightarrow \text{NH}_2 + \text{NH}_3^+$$

It is impossible to distinguish between the ground state of  $\text{NH}_2^+$  and the excited state by means of investigation of the ion-mol. reaction.

M. A. Schotten

Ueen.

chromosomes

NH<sub>3</sub>

Lindholm E.

1968

Ark. Fys.

37° N 5, 49

Диссертация на-и и  
докторских постов в  
теории макроэкономик  
орбн. II. Диссертации

$$\underline{NH_3} \text{ u } NH_3^+$$

(Cet.  $NH_3$ ) III

XIII - 1714 - 89

1968

NH<sub>3</sub>

) 22 Б29. Константы ангармоничности и усредненная модель молекулы аммиака. Могио Yonezo, Kuchitsu Kozo, Yamamoto Seiya. The anharmonic constants and average structure of ammonia. «Spectrochimica Acta», 1968, A 24, № 4, 335—352 (англ.)

521

Вычислены константы потенциальной энергии третьего и четвертого порядка для молекул NH<sub>3</sub> и ND<sub>3</sub> в предположении внутримолекулярного потенциала как функции от внутренних координат; переход от внутренних координат к нормальным осуществлен при помощи нелинейного преобразования. При построении модели валентных сил приняты во внимание как обычные элементы F-матрицы, так и параметры типа Морзе, учитывающие ангармоничность вал. кол. связей N—H; взаимодействие между атомами водорода представлено в рамках модели Ван-дер-Ваальса. Большинство констант третьего порядка

X · 1968 · 22

☒

ка, констант колебательно-вращательного взаимодействия  $\alpha$  и констант  $l$ -удвоения  $g_l$ , вычисленных по принятой схеме, согласуется с эксперим. данными. Сравнение показывает, что почти все силовые постоянные третьего порядка во внутренней системе координат, каковыми пренебрегается при построении модели валентных сил, представляют собой небольшие величины отрицат. знака, как наблюдается для некоторых нелинейных молекул  $XU_2$ . Оценен возможный порядок величин этих констант. Подобным же образом вычислены колебательные константы ангармоничности  $\chi$  на основе силовых постоянных третьего и четвертого порядков. Усредненные параметры структур в нулевом приближении, оцененные с использованием эксперим. вращательных постоянных, найдены равными:  
 $r_z(\text{NH}) = 1,0240 \text{ \AA}$ ,  $\alpha_z(\text{HNH}) = 107,32^\circ$ ;  $r_z(\text{ND}) = 1,0206 \text{ \AA}$ ,  
 $\alpha_z(\text{DND}) = +07,22^\circ$ .

Резюме

NH<sub>3</sub>

Омск 521 | 1968

У 8 Д 140. Ангармонические постоянные и усредненная структура аммиака. Morino Yonezo, Kuchitsu Kozo, Yamamoto Seiya. The anharmonic constants and average structure of ammonia. «Spectrochim. acta», 1968, A24, № 4, 335—352 (англ.)

химия,  
структуре;

ч. н.;

Вычислены кубические и квадратичные постоянные в выражении для потенц. энергии колебаний атомов в молекулах NH<sub>3</sub> и ND<sub>3</sub>, записанном во внутренних координатах. Такие расчеты проводились ранее авторами для молекул типа XY<sub>2</sub>. Отмечается, что использование внутренних координат имеет преимущество в наглядности по сравнению с использованием норм. координат. Подробно (в приложении) рассмотрена общая схема пере-

оп. 1968. 88.

28

хода от внутренних координат к нормальным. В расчетах использовалась модель валентных сил и предполагалось, что потенц. энергия взаимодействия атомов водорода описывается кривой Ван-дер-Ваальса. Большинство кубич. постоянных, постоянные колебательно-вращательного взаимодействия и расщепления  $\lambda$ -типа, рассчитанные при использовании этих моделей, согласуются в основном с соответствующими эксперим. значениями. Сравнение с эксперим. данными также показывает, что почти все постоянные в системе внутренних координат, игнорируемые в модели валентных сил, должны иметь малые отрицат. значения, как это имеет место и для некоторых изогнутых молекул  $XY_2$ . Проведена оценка порядка величины этих постоянных. Полученные значения постоянных потенц. энергии (точнее вклад в их значения от гармонич. части энергии) использованы для определения геометрич. структуры  $NH_3$  и  $ND_3$  по данным вращательных спектров.

В. А. Морозов

NH<sub>3</sub>

cmp-pa

XIII - 1714-89

1968  
521

- 90065f The anharmonic constants and average structure of ammonia. Yonezo Morino, Kozo Kuchitsu, and Seiya Yamamoto (Univ. Tokyo, Tokyo, Japan). *Spectrochim. Acta, Part A* 24(4), 335-52(1968)(Eng). The cubic and quartic potential consts. for NH<sub>3</sub> and ND<sub>3</sub> were calcd. by assuming intramol. potential functions of internal coordinates and by means of the nonlinear transformation of the internal coordinates into the normal coordinates. The ordinary *F* matrix elements in the internal-symmetry coordinate system and the Morse-like parameters representing the anharmonicity of the N-H bond-stretching vibrations are taken into account in the valence force model, and in addn. the H-H potential terms are assumed in the van der Waals model. A majority of the cubic consts., the vibration-rotation interaction constants  $\alpha$ , and the *l*-type doubling consts.

C.A. 1968-68-20

X

$q$ , calcd. by these models agree with the exptl. values reported by Benedict and Plyler. The comparison has indicated that almost all the 3rd-order potential consts. in the internal coordinate system ignored in the valence force model should have small neg. values, as observed for several bent  $XY_2$  mols. Possible orders of magnitude of these consts. were estd. The vibrational anharmonic consts.  $\chi$  were estd. in a similar manner from the cubic and quartic consts. The zero-point av. structure is derived from the exptl. rotational consts. to be:  $r_s(N-H) = 1.024_0$  A.,  $\alpha_s(H-N-H) = 107.3_2^\circ$ , and  $r_s(N-D) = 1.020_6$  A.,  $\alpha_s(D-N-D) = 107.2_2^\circ$ .  
30 references.

RCSQ

10 Б268. Исследование индуцированных столкновениями переходов между вращательными уровнями молекул в микроволновой области. IV. Равновесные изме-

рения для  $\text{NH}_3$ . Oka Takeshi. Microwave studies of collisioninduced transitions between rotational levels. IV. Steady-state measurements in  $\text{NH}_3$ . «J. Chem. Phys.», 1968, -48, № 11, 4919—4928 (англ.)

Методом двойного МВ-резонанса исследованы индуцированные столкновениями переходы между вращательными уровнями аммиака. Излучением мощного клистрона производится накачка отдельных инверсионных переходов  $\text{NH}_3$  с заданными значениями вращательных квантовых чисел  $J$  и  $K$  и измеряется изменение интенсивности  $\Delta I/I$  нижележащих инверсионных переходов. Измерения выполнены для 18 четырехуровневых систем

рд  
с о п.  
что

Х. 1969. 10

с различным  $J$  и  $K$  со ср. ошибкой  $\delta(\Delta I/I) = \pm 0,2\%$ . Наибольшие значения  $\Delta I/I$  (вплоть до 10%) получены для дипольных переходов типа  $\Delta J=0, \pm 1$  с изменением четности уровней ( $+ \leftrightarrow -$ ). Величины  $\Delta I/I$  для переходов  $\Delta J=\pm 1$  при  $J \approx K$  малы по сравнению с  $\Delta I/I$  для переходов  $\Delta J=0$ , а при  $J \gg K$   $\Delta I/I$  для этих переходов одинаковые. Обнаружены также нек-рые индуцированные столкновениями переходы  $\Delta J>1$  и  $\Delta K \neq 0$ , для к-рых величина  $\Delta I/I$  не превышает 0,5%, а также переходы между уровнями с одинаковой четностью  $\pm \leftrightarrow \pm$   $\Delta J = \pm 1$ . Рассмотрена зависимость  $\Delta I/I$  от  $J$  и  $K$  и отмечено, что при малых  $K$   $\Delta I/I$  с увеличением  $J$  сильно растет, достигая максим. значения при  $J \approx 5$  и затем уменьшается, а при заданном  $J$  с увеличением  $K$   $\Delta I/I$  уменьшается, причем это уменьшение наиболее резко выражено для переходов с малыми  $J$ . Путем приближенного решения кинетич. ур-ний для случая теплового равновесия получены ф-лы, связывающие  $\Delta I/I$  с вероятностями переходов между вращательными уровнями, при помощи к-рых из эксперим. значений  $\Delta I/I$  определены некоторые функции вероятностей переходов для всех четырехуровневых систем. При помощи теории Андерсона вычислены значения  $\Delta I/I$ . Расчет во всех случаях дает завышенные (от 2 до 8 раз) значения  $\Delta I/I$ . Сообщ. III см. РЖХим, 1968, 20Б259.

М. Р. Алиев

NH<sub>3</sub>

1968

и. в.  
спектир

) 2 Д481. Микроволновые исследования переходов между вращательными уровнями, индуцированных столкновениями. IV. Измерения для NH<sub>3</sub> в стационарном состоянии. Oka Takeshi. Microwave studies of collision-induced transitions between rotational levels. IV. Steady-state measurements in NH<sub>3</sub>. «J. Chem. Phys.», 1968, 48, № 11, 4919—4928 (англ.)

Методом двойного резонанса в микроволн. области исследованы переходы между вращательными уровнями в NH<sub>3</sub>, индуцированные столкновениями. Возрастание интенсивности поглощения ряда инверсионных дублетов исследовалось как ф-ция «накачки» инверсионных дублетов с заданными J. Подробно описана измерительная аппаратура и техника эксперимента. Полученные резуль-

таты

дополнительный текст

таты проанализированы на основе ур-ний устойчивых состояний и получены относит. значения констант скоростей. Получены следующие правила отбора для наиболее распространенных дипольных индуцированных переходов:  $\Delta J = 0, \pm 1; +\leftrightarrow-$ . Вероятность переходов  $\Delta J = 0$  выше, чем  $\Delta J = \pm 1$  для уровней с  $J \sim K$ , в то время как для  $J \gg K$  переходы с  $\Delta J = 0$  и  $\pm 1$  равновероятны. Переходы с  $\Delta J > 1$  и  $\Delta K \neq 0$  имеют малые вероятности. На основании сравнения теоретич. и эксперим. данных сделан вывод, что квадрупольные переходы с  $\Delta J = \pm 1, +\leftrightarrow+$  равновероятны с соответствующими дипольными переходами. Библ. 17. Ч. III см. РЖФиз, 1968, 7Д191.

Э. В. Б.

1968

NH<sub>3</sub>

Фотодиссоциация 10 Б1153. Фотодиссоциация NH<sub>3</sub> в вакуумной ультрафиолетовой области, образование и реакционная способность электронно-возбужденных радикалов NH\*. Okabe Hideo. Photodissociation of NH<sub>3</sub> in the vacuum-ultraviolet production and reactivity of electronically excited NH. «J. Chem. Phys.», 1968, 49, № 6, 2726—2733 (англ.)

При фотодиссоциации NH<sub>3</sub> (I) в вакуумной УФ-области образуются электронно-возбужденные радикалы NH\* в состоянии  $c^1\Pi$  и  $A^3\Pi$ ; и, возможно, N<sub>2</sub>( $B^3\Pi_g$ ), флуоресценция которых была исследована в области 1700—6000 Å. Выход NH ( $c^1\Pi$ ) составляет 2%. Полоса (0,0) является наиболее интенсивной из (0,0), (1,0) и (0,1)-полос системы NH с  $c^1\Pi-a^1\Delta$ , наблюдаемой при облучении Kr и Xe-линиями. Интенсивность полосы (1,0) составляет 7%

+1

x · 1969. 10

X

от интенсивности полосы (0,0). Вращательные уровни полосы (0,0) населены вплоть до  $K=18$ . Прямое образование  $\text{NH}(A^3\Pi_i)$  является спин-запрещенным процессом и, по-видимому, играет незначительную роль. Из данных по зависимости от давления отношения  $\text{NH}(A^3\Pi_i)\text{NH}(c^1\Pi)$  следует, что  $\text{NH}(A^3\Pi_i)$  может получаться при р-циях электронно-возбужденных молекул  $\text{N}_2(B^3\Pi_g)$  с I. Предполагается, что  $\text{NH}(c^1\Pi)$  может получаться при преддиссоциации электронно-возбужденных I ( $<1450 \text{ \AA}$ ) или при прямой диссоциации I ( $>1450 \text{ \AA}$ ).  $\text{NH}(c^1\Pi)$  гасится почти при каждом соударении с  $\text{H}_2$ ,  $\text{CO}$ ,  $\text{O}_2$  и  $\text{NO}$ . Основным процессом при гашении парамагнитными газами  $\text{O}_2$  и  $\text{NO}$  является конверсия  $c^1\Pi$  в  $A^3\Pi_i$ -состояние.

Резюме

1968

NH<sub>3</sub>

Price W.C.

Molecular Spectrosc.

Proc. Conf. Brixton  
1968. London, 1968, 221

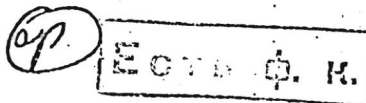
[Cet. H<sub>2</sub>] III

$\gamma$  ( $H_2$ ,  $HCl$ ,  $H_2O$ ,  $NH_3$ ,  $CH_3$ ,  $N_2$ ,  $NO, O_2$ )

XI 427 1968

Price W.C.  
Molec. Spectrosc. Proc. Conf.  
Brighton, 1968, London,  
1968, 221-33, Discuss, 237-38

PX 1970



20

1968

ЗД162. Средние амплитуды колебаний: пирамидальные молекулы типа  $XYZ_2$ . Rao B. Raghunadra, Rama Murthy V. Mean amplitudes of vibrations: pyramidal  $XYZ_2$  type molecules. «Indian J. Pure and Appl. Phys.», 1968, 6, № 7, 339—341 (англ.)

$NH_3$   
(Ф, Т-замес.)

ампл.  
колеб.

Из литературных данных о структурных параметрах, частотах основных колебаний и силовых коэф. вычислены среднеквадратичные и средние амплитуды колебаний 18 частично дейтерированных и тритированных изотопич. модификаций молекул  $NH_3$ ,  $PH_3$  и  $AsH_3$  типа  $XYZ_2$  ( $X=N, P, As$ ) с симметрией  $C_{2v}$  при т-ре 300° К. Рассмотрена зависимость вычисленных величин от масс атомов и показано, что средние амплитуды колебаний связей XY практически не зависят от массы атома Z и увеличиваются с увеличением массы атома X, а средние амплитуды колебаний несвязанных пар атомов Z...Z и Y...Z увеличиваются при увеличении<sup>ок</sup> масс атомов Y и Z.

M. P. Алиев

9. 1969.

39

x9

☒

NH<sub>3</sub>

B9P-4505-X

1968

Ray R. S.

Proc. Phys. Soc., London, A.  
Mol. Phys., [2] 1 (2), 326.

An empirical relation-  
ship between bond length  
and frequency.

(rec. Chy) III

NH<sub>3</sub>

XIII-961-1897 1968

53456p Theoretical conformational analysis. I. An ab initio SCF-LCAO-MO study of the nitrogen inversion barriers in ammonia and in ethylenimine. A. Veillard, J. M. Lehn, and B. Munsch (Lab. Chim., Paris). *Theor. Chim., Paris. Theor. Chim. Acta* 9(3), 275-7(1968)(Eng). A theoretical ab initio stable crystal field-L.C.A.O.-M.O. study of the N inversion barriers of NH<sub>3</sub> and ethylenimine is presented. The total energy is calcd. for the most stable conformation (pyramidal form) and the planar form of the 2 compds. The increased energy from the pyramidal to the planar conformation is probably related to a transfer of electron d. from the 2s to the 2p, N orbitals. Thus, from a N at. population anal. of the 2 mols. in the pyramidal and planar states the increase in the energy barrier going from NH<sub>3</sub> to ethylenimine is reflected in the increase in 2s → 2p electronic transfer from 0.1 electron in the case of NH<sub>3</sub> to 0.3 electron in the case of ethylenimine.

CJJN

C.A. 1968. 68-12



*NH<sub>3</sub>*  
*ND<sub>3</sub>*

*фотоэлекtronные спектр.*  
зп

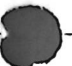
1969  
8 Б176. Ионизационные потенциалы аммиака и аммиака-*d*<sub>3</sub>, измеренные при помощи фотоэлектронной спектроскопии и рассчитанные методом ННДП. Branton G. R., Frost D. C., Herring F. G., McDowell C. A., Stenhouse I. A. The ionization potentials of ammonia and ammonia-*d*<sub>3</sub>, measured by photoelectron spectroscopy, and an INDO calculation of these values. «Chem. Phys. Letters», 1969, 3, № 8, 581—584 (англ.)

Получены фотоэлектронные спектры высокого разрешения NH<sub>3</sub> и ND<sub>3</sub> при возбуждении резонансной линией гелия 584 А. В спектрах обнаружены ионизац. процессы, соотв.-щие ионизации с молекулярных орбиталей 3a и 1e. Для полос первого ионизац. потенциала (ИП) в каждом спектре наблюдалась хорошо разрешенная колебат. прогрессия, к-рая отнесена к симм. неплоск. деф. кол. v<sub>2</sub>. Проведен расчет ИП методами ПНДП и ННДП. Методом ННДП получен лучший результат, хотя оба расчета дали величины, превышающие данные эксперимента.

О. Г. Гаркуша

X·1970.

8



(8)

NH<sub>3</sub>

B9-XII-72

1969

(105334f) Ionization potentials of ammonia and ammonia-d<sub>3</sub>. Measured by photoelectron spectroscopy, and an INDO calculation of these values. Branton, G. R.; Frost, D. C.; Herring, F. G.; McDowell, C. A.; Stenhouse, I. A. (Univ. British Columbia, Vancouver, British Columbia). *Chem. Phys. Lett.* 1969, 3(8), 581-4 (Eng). New high-resoln. photoelectron spectra of NH<sub>3</sub> and ND<sub>3</sub> are reported. The spectra of both compds. show 2 ionization processes corresponding to ionization of the 3a and 1e mol. orbitals. The 1st band in the photoelectron spectrum of each compd. shows a well-resolved vibrational progression which is assigned to  $\nu_2$ , the totally sym. out-of-plane bending mode. Calcns. of the ionization potentials have been carried out using the C.N.D.O./2 and I.N.D.O. M. O. methods. The I.N.D.O. method gave better results than the C.N.D.O./2 calcn., but both sets of values were higher than the exptl. ones.

BGIN

C.A. 1969. 71. 22

X

*NH<sub>3</sub>*

2 Д148. Потенциалы ионизации аммиака и аммиака- $d_3$ , измеренные методом фотоэлектронной спектроскопии, и расчет этих величин в приближении неполного пренебрежения дифференциальным перекрыванием. Branton G. R., Frost D. C., Hettig F. G., McDowell C. A., Stenhouse I. A. The ionization potentials of aminonia and aminonia- $d_3$ , measured by photoelectron spectroscopy, and an INDO calculation of these values. «Chem. Phys. Letters», 1969, 3, № 8, 581–584 (англ.)

1969

Получены новые фотоэлектронные спектры высокого разрешения аммиака и аммиака- $d_3$ . Спектры этих молекул указывают на два процесса ионизации, соответствующих ионизации с 3a и 1e молекулярных орбиталей. Первые полосы спектров имеют хорошо разрешенную колебательную структуру, приписываемую полносимметричному пространственному колебанию  $v_2$ . Проведены расчеты потенциалов ионизации методом MO в

ите  
едова  
зре

90. 1970. 28

приближении полного (I) и неполного (II) пренебрежения диффер. перекрыванием. Метод II дает лучшие результаты, чем I, однако оба метода дают величины, большие экспериментальных. Эксперим. величины потенциалов ионизации аммиака с орбитали  $3a$  равны 10,15 эв (адиабатический) и 10,8 эв (вертикальный); с орбитали  $1e$  соответственно 14,92 и 15,5 эв. Наилучшие теоретич. величины потенциалов ионизации с орбиталей  $3a$ ,  $1e$  и  $2a_1$  соответственно равны 10,2; 15,89 и 33,55 эв. Сделано заключение о том, что метод II может быть полезен для отождествления полос, наблюдаемых в молекулярной фотоэлектронной спектроскопии. Приводится сравнение данных для молекул аммиака и аммиака- $d_3$ . Колебательные частоты для ионов аммиака и аммиака- $d_3$  соответственно равны 950 и  $720 \text{ см}^{-1}$ . При облучении резонансной линией гелия энергии первых наблюдаемых членов колебательной прогрессии для аммиака и аммиака- $d_3$  равны соответственно 10, 14 и 10,35 эв. Однако дополнительные опыты указывают на то, что полоса O—O, наблюдавшаяся в аммиаке, не наблюдается в аммиаке- $d_3$ , и адиабатич. потенциал ионизации аммиака- $d_3$  равен 10,17 эв.

Г. К.

1969

NH<sub>3</sub>

(ray) Chamberlain J.  
Costley A. E., Webbie H.

$\mu$

Spectrochim. Acta, A 25,  
N<sup>o</sup> 1, 9-18.

Дисперсия в субмикрон-  
лической области,  
ионное излучение вра-  
щается или меняется

и движется момент  
взаимодействия аудита  
из.

(авт. НСЛ) III

XIII - 4588

1969

NH<sub>3</sub>

D<sub>0</sub>

3 Б85. Возбуждение электронным ударом и образование отрицательных ионов в NH<sub>3</sub> и ND<sub>3</sub>. Compton R. N., Stockdale J. A., Reinhardt P. W. Electron-impact excitation and negativeion formation in NH<sub>3</sub> and ND<sub>3</sub>. «Phys. Rev.», 1969, 180, № 1, 111—120 (англ.)

На времяпролетном масс-спектрометре типа Bendix экспериментально исследовано возбуждение электронным ударом вблизи пороговых значений и образование отрицательных ионов в аммонии и ND<sub>3</sub>. Сравниваются результаты, полученные методом использующим интенсивное присоединение к SF<sub>6</sub> резонансных электронов с энергией близкой к нулю для улавливания электронов, образующихся при неупругих соударениях с молекулами исследуемого газа в масс-спектрометре, и данные измерений поперечного сечения диссоциативного захвата и кинетической энергии ионов с помощью электронной ловуш-

x. 1970. 3

(+)(-)



ки, действующей на квазимоноэнергетич. электронном пучке с разрешением по энергии  $\sim 0,1$  эв. Спектры возбуждения электронным ударом, полученные обоими методами, обсуждаются и наблюдаемые в области 4—17 эв пики интерпретируются соотв-щими электронными состояниями  $\text{NH}_3$ . Среднее из 23 измерений значение попечного сечения диссоциативного захвата для  $\text{NH}_3$  составляет  $(5,74 \pm 0,2) 10^{-18} \text{ см}^2$  и для  $\text{ND}_3$  из 17 измерений  $(5,36 \pm 0,3) 10^{-18} \text{ см}^2$ . Приведены кривые выхода отрица-тельных ионов  $\text{D}^-$  и  $\text{ND}_2^-$  из  $\text{ND}_3$  и  $\text{NH}_2^-$  из  $\text{NH}_3$ . Изме-рения кинетич. энергии отрицат. ионов произведено мето-дом задерживающих потенциалов и представлено в виде соотв-щих кривых. Энергия диссоциации  $\text{NH}_2-\text{H}$  найде-на равной  $4,35 \pm 0,15$  эв.

М. Туркина

1969

NH<sub>3</sub>

Gey g., Slaksic Z.B.,  
Trinajstic N.

Y. Mol. Street., 3 (1-2),  
21-6.

Kb. нек.  
расчлен

(cii. BH<sub>3</sub>) III

$\Delta(p)$  ( $\text{CH}_3\text{NH}_2$ ,  $\text{NH}_3$ ,  $\text{CH}_3\text{OCH}_3$ ,  $\bar{\Sigma}^{1969} 652$   
 $\text{PH}_3$ ,  $\text{CH}_3\text{CN}$ ,  $\text{CH}_3\text{SH}$ ,  $\text{CH}_3\text{OH}$ ,  
 $\text{HCN}$ ,  $\text{CH}_3\text{Cl}$ ,  $\text{H}_2$ ,  $\text{HCl}$ ,  $\text{HBr}$ ) 11

Haney M.A., Franklin J.L., 14

J. Phys. Chem., 1969, 73, v12, 4328-4331  
(auze)

Mass spectrometric determination  
of the proton affinities of various  
molecules.

~~REMOVED~~  $\bar{\Sigma}^{1969} 652$

Perf. 1970, 60250. 10

ME 3

XIII-245

1969

61086r Submillimeter-wave spectra of ammonia and phosphine. Helminger, Paul; Gordy, Walter (Dep. of Phys., Duke Univ., Durham, N.C.). *Phys. Rev.* 1969, 188(1), 100-8 (Eng). Rotational transitions of different isotopic species of  $\text{NH}_3$  and  $\text{PH}_3$  have been obsd. in the  $\frac{1}{2}$  to 1-mm region. The frequency of the  $J = 0 \rightarrow 1$  transition of  $^{14}\text{NH}_3$  is  $572,496.69 \pm 0.60$  MHz and that for  $^{15}\text{NH}_3$  is  $572,053.18 \pm 0.50$  MHz. Spectral consts.  $B_0$  obsd. for the different isotopic species (in MHz) are: 298,114.68 for  $^{14}\text{NH}_3$ , 297,359.32 for  $^{15}\text{NH}_3$ , 154,173.25 for  $^{14}\text{ND}_3$ , and 153,600.82 for  $^{15}\text{ND}_3$ . Structural dimensions for the ground vibrational state of  $\text{NH}_3$  obtained by isotopic substitution are 1.0136 Å for the bond length and  $107^\circ 3'$  for the bond angle. For  $\text{PH}_3$ , the rotational consts. obtained (in MHz) are:  $B_0 = 133,480.15$ ,  $D_J = 3.95$ , and  $D_{JK} = -5.18$ ; for  $\text{PD}_3$  they are  $B_0 = 69,471.09$ ,  $D_J = 1.02$ , and  $D_{JK} = -1.31$ . An upper limit of  $\frac{1}{2}$ , MHz has been put on the unknown inversion frequency of  $\text{PH}_3$ .

RCPJ

C.A

1980.72.12

6 Д475. Спектры аммония и фосфина в субмиллиметровой области. Helminger Paul, Gordy Walter. Submillimeter-wave spectra of ammonia and phosphine. «Phys. Rev.», 1969, 188, № 1, 100—1108 (англ.)

1960

В области  $0,5 \div 1$  мм измерены вращательные переходы различных изотопич. комбинаций молекул  $\text{NH}_3$  и  $\text{PH}_3$  и их дейтерированных образцов в основном колебательном состоянии. Зарегистрирована частота перехода  $J=0 \rightarrow 1$  для  $\text{N}^{14}\text{H}_3$  при  $572496,69 \pm 0,60$  Мгц и для  $\text{N}^{15}\text{H}_3$  при  $572053,18 \pm 0,50$  Мгц. Для всех изотопич. образцов определены вращательная постоянная  $B_0$  и постоянная центробежного искажения  $D_J$  и для  $\text{PH}_3$  также и  $D_{JK}$ . Для  $\text{N}^{14}\text{D}_3$  найдена постоянная квадрупольного взаимодействия  $eqQ = -4,10$  Мгц. Найдены структурные параметры аммония: длина связи, равная  $1,0136$  Å, и угол между связями, равный  $107^\circ 3'$ . У верхней границы исследованной области найдена инверсионная частота для  $\text{PH}_3$ .

Г. П.

и. и.  
структуре

о. 1970.

68

+1

18

1969

NH<sub>3</sub>

Holt & D.,  
Beauchamp Y. d.

proposito  
cupororum

J. Amer. Chem. Soc.,

1969, 91, n 21, 5913

(Cet. PH<sub>3</sub>) III

1969

NH<sub>3</sub>

110214a Rotational and vibrational relaxation in gaseous ammonia. Jones, David Grandison; Lambert, James D.; Saksena, M. P.; Stretton, John L. (Univ. Oxford, Oxford, Engl.). *Trans. Faraday Soc.* 1969, 65(4), 965-73 (Eng). Measurements of ultrasonic velocity and absorption have been made in gaseous NH<sub>3</sub> at 298.15°K., and show both rotational and vibrational relaxation to occur with approx. the same relaxation time. The estd. collision nos. for energy transfer are  $Z_{\text{vib}} = Z_{\text{rot}} = 4.9$ . The vibrational relaxation time of NH<sub>3</sub> is considered to be abnormally short even though there is agreement between the exptl. results and that calcd. by using the R. N. Schwartz, Z. Slawsky, and K. F. Herzfeld (1952) theory since the theory underest. considerably the relaxation times of other small polar mols. including ND<sub>3</sub>. Approx. calcs. of rotational

Kerned.  
gray. peak  
-cayzed

C. A. 1969. 40. 24

relaxation on a classical "rough spheres" model give  $Z_{\text{rot}} = 14.4$ .  
The discrepancy with expt. is attributed to the effect of dipole-dipole interaction in helping rotational energy transfer. The exptl. collision nos. are significantly larger than published values calcd. by the Mason-Monchick (1962) theory from observed transport properties. An accurate exptl. value for the velocity of sound in Ar, which was used as a calibrating gas for the app. is included.

RCTD

NH<sub>3</sub>

24 Б55. Значение неподеленной пары электронов для внутримолекулярной потенциальной функции гидридов и тригалогенидов элементов V группы. King Shih-Tung, Overend John. The importance of lone-pair electrons in the intramolecular potential function of group V hydrides and trihalides. «J. Phys. Chem.», 1969, 73, № 2, 406—412 (англ.)

1969

Определены постоянные силового поля Юри—Брэдли молекул ЭХ<sub>3</sub> (Э=N, P, As, Sb; X=H, D, Hal) и NHF<sub>2</sub>, NDF<sub>2</sub>, учитывающего кулоновское взаимодействие неподеленной пары электронов с периферийными атомами. Силовая постоянная  $F_\beta < 0$  для гидридов и  $F_\beta > 0$  для галоидных соединений. Наиболее чувствительны к варьированию  $F_\beta$  частоты полносимм. вал. и деф. кол. ЭХ<sub>3</sub>. Введение  $F_\beta$  улучшает соответствие между вычисленными и эксп. найденными значениями частот; в случае гидридов получено соответствие в пределах 1%.  
B. A. Сипачев

+25

X·1969·24



NH<sub>3</sub>

Krell J. et al.

1969

pacru

gruina

chzze

Chem. Phys., Yetters,  
4(5), 261.

(See. CH<sub>4</sub>) III

$^{15}\text{NH}_3$

XIII - 1350

1969

72939 - Rotational constant of isotopic ammonia  $^{15}\text{NH}_3$ .  
Krupnov, A. F.; Gershtein, L. I.; Shustrov, V. G.; Polyakov,

V. V. (Nauch.-Issled. Radiofiz. Inst., Gor'k, Univ., Gorki,  
USSR). *Izv. Vyssh. Ucheb. Zaved., Radiofiz.* 1969, 12(10), 1584-  
5 (Russ). In an 8:1 mixt. of  $^{14}\text{NH}_3$  and  $^{15}\text{NH}_3$  the usual spectral  
line transitions  $J = 0 \rightarrow 1$ ,  $K = 0$  were recorded in the  $525\text{-}\mu$   
band: 572,115 MHz for  $^{15}\text{NH}_3$  ( $572,499.4 \pm 3$  MHz literature  
value). The rotational consts. were:  $B_0(^{15}\text{NH}_3) = 297,379.3$   
MHz vs. the literature value 297,377.5 MHz.;  $B_0(^{14}\text{NH}_3) =$   
 $298,104.2$  MHz; the frequency difference of the transitions of  
 $^{14}\text{NH}_3$  and  $^{15}\text{NH}_3$   $\Delta\gamma_{0-1} = 384.1$  MHz vs. the reported value  
384.8 MHz.

Karl H. Bloss

Spacy. note.

M. B. checkup

C.A.

1970. 72.14

1969

 $N^{15}H_3$ 

4 Д457. Определение вращательной постоянной изотопного аммиака  $N^{15}H_3$ . Крупнов А. Ф., Герштейн Л. И., Шустров В. Г., Поляков В. В. «Изв. высш. учебн. заведений. Радиофизика», 1969, 12, № 10, 1584—1585

В диапазоне  $\lambda=0,525$  мм с помощью газового радиоспектроскопа одновременно наблюдались спектральные линии переходов  $J=0 \rightarrow 1$ ,  $K=0$  обычного ( $N^{14}H_3$ ) и изотопного ( $N^{15}H_3$ ) аммиака. Измерено расстояние между ними, равное  $384,8 \pm 0,2$  Мгц. На основе проведенных ранее измерений частоты перехода  $J=0 \rightarrow 1$ ,  $K=0$  обычного аммиака определена частота перехода изотопного аммиака, равная  $572\,115 \pm 3$  Мгц, и рассчитана вращательная постоянная  $B_0(N^{15}H_3) = 297\,378$  Мгц. Точность значения  $B_0$  определяется, по-видимому, точностью значения инверсионного расщепления, входящего в расчетную формулу.

Автореферат

09. 1970. 48

1969

NH<sub>3</sub>

шифр

4 Б271. Влияние перекрестной релаксации в длинноволновом инфракрасном спектре аммиака. Lightman A. Cross-relaxation effects in the far infrared spectrum of ammonia. «Israel J. Chem.», 1969, 7, № 2, 299—301 (англ.)

Измерены ширины и сдвиги линий инверсионных дублетов вращательных переходов  $J=3\rightarrow 4$ ,  $4\rightarrow 5$  и  $5\rightarrow 6$  в длинноволновом ИК-спектре NH<sub>3</sub>. Показано, что с ростом давл. интервал между компонентами дублетов уменьшается, а при нек-ром давлении линии дублета сливаются в одну, ширина к-рой меньше суммарной ширины отдельных линий. Определены параметры ширины  $\gamma_0$  и перекрестной релаксации  $\zeta_0$  для исследованных линий.

М. Р. Алиев

X. 1970.

4

NH<sub>3</sub>

1969

Hojiko M.S.  
Beers L.

sp. noct.

Y. Res. Nat. Bur. Stand.

#43, v2, 233.

(See H2O) III

M. N., cos. n. ( $O_3$ ,  $OF_2$ ,  $SO_2$ ,  $SeO_2$ ,  
 $OCS$ ,  $NH_3$ ) <sup>1969</sup>

Marino, V. 11 13 12 14  
xi 364

Pure and Appl. Chem., 1969, 18, no. 823-358  
(acc)

Intramolecular potential function  
of polyatomic molecules by vibra-  
tion-rotation interactions. 12

Perkin, 1970, 35163 10

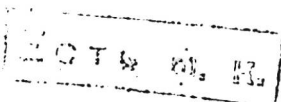
Cens. noci ( $H_2O$ ,  $H_2S$ ,  $H_2Se$ ,  $\underline{NH_3}$ <sup>1969</sup>,  
 $PH_3$ ,  $AsH_3$ ,  $SbH_3$ ) XI 416

Pfeiffer M.,

J. molec. Spectrosc., 1969, 31, N<sub>2</sub>,  
181-195

bX70

10



$C_2H_4$ ;  $CH_4$ ;  $LiH_2^-$ ;  $CH_3^+$ ; IX 813 1969

$DH^-$ ;  $NH_3$ ;  $C_2H_2$ ;  $C_2HF$ ;  $C_2HCl$ ;  $C_2$ ;  $C_3$ ;  $C_4$ ;  $BeHBe^+$ ;  $BeHBe^-$ ;  $BeH^+$ ;  $BeF_3$ ;  $HF$ ;  $FHF^-$ ;  $H_2O$ ;  $HeH^+$ ;  $F(H_2O)_n$  ( $n = 1, 2, 3$ );  $HeHHe^+$ ;  $F_2$ ;  $LiF$ ;  $NaF$ ;  $HCl$ ;  $LiCl$ ; ( $\Delta H_f$ , D, S, Z e, V; KB-  
pacet)

Preuss H., Janoschek R.,  
Z. Mol. Struct., 1969, 3(4-5),

423-28

БГТУ им. В.Г.Шухова

1110

(Chemical & Physical  
Properties of Heterocyclic Compounds.) 1969

NH<sub>3</sub>

V<sub>2</sub>

110218e Vibrational frequencies of isotopically substituted molecules of the pyramidal type XY<sub>2</sub>Z (X = N, P, As, or Sb; Y or Z = H, D, or T) by the method of Green's function. Ramaswamy, K., Swaminathan, S. (Univ. Annamalai, Anna-malainagar, India). *Spectrosc. Mol.* 1969, 18(202), 7-11 (Interlingua). The wave nos. corresponding to the vibrational frequencies of 24 mols. of the pyramidal type XY<sub>2</sub>Z are caled. from the wavenos. of the corresponding XY<sub>2</sub> mols. by use of Green's function, and the results are compared with the previous values. Reasonably good agreement was obtained in almost all cases except for some bending vibrations. The anal. by use of the Green function gives a better understanding of the isotope rule from the point of view of mol. dynamics.

Forrest F. Cleveland

C.A. 1969.

70.24



+3

X

*NH<sub>3</sub>*

*XIII - 531*

*1969*

*УД 161. Вычисление молекулярных постоянных гидридов V группы методом функции Грина. Ramaswamy K., Swaminathan S. Molecular constants of group V hydrides by Green's function analysis. «Austral. J. Chem.», 1969, 22, № 2, 291—297 (англ.)*

*Методом ф-ции Грина из литературных данных о частотах колебаний гидридов  $XH_3$  ( $X=N, P, As, Sb$ ) и их производных ( $XD_3, XT_3$ ) определены параметры форм колебаний, а из последних вычислены силовые коэф. наиболее общего силового поля  $XH_3$ , среднеквадратичные амплитуды колебаний  $\sigma$  для связанных и несвязанных*

*чис.  
носит.*

*+3*

*Ф. 1969. 110*

пар атомов, постоянные центробежного искажения  $D_j$ ,  
 $D_{jk}$ ,  $D_k$  и кориолисового взаимодействия  $\zeta_i$  ( $i=3, 4$ )  
компонент вырожденных колебаний для всех  $XH_3$ ,  $XD_3$   
и  $XT_3$ . Результаты расчета  $\sigma$  для  $NH_3$ ,  $ND_3$  и  $PH_3$  согла-  
суются с электронографич. данными, а для остальных мо-  
лекул — с результатами других расчетов. Вычисленные  
значения  $\zeta$ -постоянных, хотя и удовлетворяют правилам  
сумм, но в некоторых случаях отличаются от эксперим.  
значений в несколько раз.

М. Р. Алиев

1969

NH<sub>3</sub>ND<sub>3</sub>HT<sub>3</sub>цил. искр.  
мол. искр.

19 Б49. Анализ молекулярных констант гидридов V группы с помощью функции Грина. Ramaswamy K., Swaminathan S. Molecular constants of group V hydrides by Green's function analysis. «Austral. J. Chem.», 1969, 22, № 2, 291—297 (англ.)

С помощью Г-матрицы, элементы к-рой определяются только колебательными частотами гидрида, его пердитето- и пертритий-производных, независимо рассчитаны силовые константы, среднеквадратичные амплитуды, константы колебательно-вращательного и корриолисова взаимодействия гидридов V группы NR<sub>3</sub>, PR<sub>3</sub>, AsR<sub>3</sub>, SbR<sub>3</sub> (R=H, D, T). Полученные величины находятся в отличном соответствии с эксперим. данными и результатами расчета с помощью нормальных координат. Предложенный метод позволяет проводить расчет указанных энергетич. констант без использования определенного силового поля.

С. Зимонт

+ 3

Х. 1969.

19

10

NH<sub>3</sub>

1969

12 Д382. Сверхтонкая структура инверсионного спектра. Roberts James A. Hyperfine structure in the inversion spectrum of NH<sub>3</sub>. «J. Molec. Spectrosc.», 1969, 30, № 2, 351—353 (англ.)

Измерены частотные интервалы  $\Delta\nu$  между центральными компонентами, обусловленными взаимодействием протонных спинов с вращением сверхтонкой структуры линий с  $1 < J < 8$ ,  $K=1$  инверсионного спектра молекулы NH<sub>3</sub>. Получена линейная зависимость  $\Delta\nu$  от  $J$  в согласии с теоретич. предсказаниями.

М. Р. Алиев

М.И.

09. 1969. 128

*NH<sub>3</sub>*

*1969*

1 Б274. Сверхтонкая структура в инверсионном спектре NH<sub>3</sub>. Roberts James A. Hyperfine structure in the inversion spectrum of NH<sub>3</sub>. «J. Molec. Spectrosc.», 1969, 30, № 2, 351—353 (англ.)

*α-β. спектр*

*X · 1970 · 1*

1969

NH<sub>3</sub>

4 Д197. Дипольный момент NH<sub>3</sub> в возбужденном состоянии v<sub>2</sub>. Shimizu Fujio. Dipole moment of NH<sub>3</sub> in the v<sub>2</sub> excited state. «J. Chem. Phys.», 1969, 51, № 6, 2754 (англ.)

Методом штарковской спектроскопии определены дипольные моменты μ молекулы NH<sub>3</sub> в основном и возбужденном колебательном v<sub>2</sub>-состояниях. Они равны, соответственно, 1,475 и 1,25 ед. Дебая, погрешность 1%. Приведен штарковский спектр NH<sub>3</sub> в области 10 μ. Предполагается, что уменьшение μ в состоянии v<sub>2</sub> объясняется тем, что в возбужденном состоянии молекула становится плоской.

И. С. Милевская

Ф. 1970. 49

NH<sub>3</sub>      Sneyder L.C.,      1969  
farcofne      Basch H.  
qp-ces  
kb-mex  
paerium

J. Amer. Chem. Soc.,  
1969, 91, n<sup>o</sup> 9, 2189.



(Ces. CH<sub>4</sub>)<sup>III</sup>

1969

NH<sub>3</sub>

Thomas J. L.

протонная  
структура

Chem. Phys. Letters,  
1969, 3, n 9, 405

(Cu. CH<sub>4</sub>) III

NH<sub>3</sub>

1969

9 Б29. Протонное строение молекул. I. Аммиак.  
Thomas J. L. Protonic structure of molecules. I. Ammonia molecules. «Phys. Rev.», 1969, 185, № 1, 90—94  
(англ.)

Проведен неэмпирический расчет молекулы аммиака, учитывающий все электроны и все протоны. Предполагалось, что ядро атома азота фиксируется и в гамильтониан включались члены, учитывающие отталкивание ядер и кинетическую энергию протонов. Приближенная волновая функция  $\Psi$  определялась в виде  $\Psi = \Phi \Omega$ , где  $\Phi$  зависит только от координат электронов, а  $\Omega$  — от координат трех протонов. В качестве одиночастичных функций (как протонных, так и электронных) использовались 1s-, 2s-, и 2p-функции типа Слейтера, центрированные на атоме азота. Функция  $\Phi$  построена в виде одного

кб. — мех.

расчета

X · 1970

.9

слейтеровского детерминанта; функция  $\Phi$  представлена в виде линейной комбинации 20 конфигураций, которые можно образовать с помощью 6 ортогональных спин-орбиталей, построенных из  $s$ - и  $p$ -функций. Минимизация энергии проводилась по параметрам слейтеровских орбиталей и коэффициентам в однопротонных функциях. Получен спектр энергетических уровней протонов. Исследованы протонные и электронные части волновой функции. Авторы отмечают, что на основании их расчета молекула аммиака должна выглядеть как эллипсоидальное облако электронов, окруженнное слоем протонов. Эта модель существенно отличается от всех известных. Вычислены значения кинетической энергии протонов ( $\sim 3$  ккал/моль) и энергия основного состояния — 55, 44 ат. ед.

И. Станкевич

XI 529

1969

H<sub>2</sub>O } /paarenī reac. спркуягы,

NH<sub>3</sub>

Valko L., Pelikas P.,  
Theoret. chim. acta, 1969, 14,  
N1, 53-64

10 13 by